

KARAKTERIZACIJA PLAZME SO₂ IN SO₂/O₂

Gregor Primc^{1,2}, Rok Zaplotnik¹, Alenka Vesel¹

ZNANSTVENI ČLANEK

¹Institut »Jožef Stefan«, Jamova 39, 1000 Ljubljana

²Mednarodna podiplomska šola Jožefa Stefana, Jamova 39, 1000 Ljubljana

POVZETEK

Dandanes se za obdelavo raznovrstnih materialov v vedno večji meri uporablja šibko ionizirana, visoko disociirana plinska plazma. Plazemskega obdelavo materialov namreč odlikuje izredna kakovost, stabilnost in ekološka neoporečnost. Pri obdelavi materialov je zelo pomembno poznanje gostote plazemskih delcev v okolini obdelovalca, saj sta način in intenziteta obdelave močno odvisni od gostote toka delcev na površino obdelovalca. Plazma SO₂ je s tega vidika še dokaj nepoznana in neraziskana. Njeno morebitno aplikacijo pa bi lahko uporabili v raznovrstnih tehnologijah, kot so plazemske jedkanje, obdelava bioloških vzorcev, funkcionalizacija materialov in modifikacija površin. V prispevku prikazujemo karakterizacijo plazme SO₂ s katalitičnimi sondami in optično emisijsko spektroskopijo. Tako plazmo smo uporabili tudi za uspešno funkcionalizacijo polimera polietilen tereftalat (PET), kar je pomembno pri izboljšanju hemokompatibilnosti umetnih žil, ki so izdelane iz tega materiala.

Ključne besede: plazma SO₂, umetne žile, XPS, polimer, katalitična sonda

Characterisation of SO₂ and SO₂/O₂ plasma

ABSTRACT

Nowadays, weakly ionized highly dissociated gas plasma is used for the surface treatment of various materials. A very important parameter is the density of neutral atoms in plasma in the vicinity of the treated material, since the process and intensity of the treatment heavily depend on the flux of neutral atoms to the surface. From this point of view, SO₂ plasma is quite unknown and there are hardly any data in the literature. SO₂ plasma is very promising for surface treatment of various materials and its application could be possible in a variety of technologies, such as plasma etching, functionalization of materials and modification of biological samples. This paper therefore reports the characterization of SO₂ plasma by catalytic probes and optical emission spectroscopy. Furthermore, SO₂ plasma was used also for the successful functionalization of polyethylene terephthalate (PET) polymer, which is important for improving hemocompatibility of artificial vascular grafts, which are made from PET material.

Keywords: SO₂ plasma, artificial blood vessel, XPS, polymer, catalytic probe

1 UVOD

Plazma se pogosto uporablja za funkcionalizacijo polimernih materialov, pri čemer lahko na njihovo površino vežemo specifične kemijske skupine. Najbolj pogosto se uporablja kisikova (O₂) plazma, kjer se na površini tvorijo različne kisikove funkcionalne skupine, kot so hidroksilne (OH), karbonilne (CO) in karboksilne (COOH). Namesto kisikove plazme lahko uporabimo tudi plazmo vodne pare (H₂O) ali ogljikovega dioksida (CO₂). Dušikova (N₂) ali amonijakova plazma (NH₃) se pogosto uporablja v bioloških aplikacijah, saj lahko na površino vežemo amino (NH₂) skupine. Vse te plazme naredijo površino hidrofilno. Če želimo hidrofobno površino, lahko upora-

bimo plazmo tetrafluorometana (CF₄), kjer lahko na površino vežemo različne nepolarne fluorove funkcionalne skupine.

Ključno vlogo pri interakciji plazemskih delcev s površino materiala igrajo nevtralni atomi, ki nastanejo pri disociaciji molekul v plazmi. Pri kisikovi (O₂) in dušikovi (N₂) plazmi je zadeva dokaj enostavna, saj oba plina disociirata bodisi na atome kisika (O₂ → O + O) ali dušika (N₂ → N + N). Njihovo gostoto je zelo enostavno izmeriti s katalitičnimi sondami [1, 2]. S temi merimo energijo, ki se sprošča pri ravno obratni reakciji, tj. rekombinaciji atomov na površini sonde v molekule. Pri drugih plinih, kot so CO₂, H₂O in NH₃, je zadeva bolj kompleksna, saj imamo lahko več površinskih reakcij na sondi. Tako lahko imamo pri plazmi CO₂, kjer molekula disociira v CO + O, na površini sonde bodisi reakcijo O + O → O₂ ali pa CO + O → CO₂. Verjetnost za prvo reakcijo je znana, za drugo pa ne, kar nam onemogoča natančno določitev gostote atomov kisika v plazmi CO₂ [3]. Podobno velja tudi za bolj malo poznano plazmo, ustvarjeno v žveplovem dioksidi (SO₂). Pri obdelavi polimerov v taki plazmi lahko na površini ustvarimo SO₃-skupine, ki bi lahko glede na podatke iz literature imele protitrombogeni značaj, zato bi lahko tovrstno plazmo uporabili za izboljšanje hemokompatibilnosti umetnih žilnih vsadkov [4, 5]. V tem prispevku prikazujemo poskusne meritve koncentracije atomov kisika v čisti plazmi SO₂ oziroma njeni mešanici s kisikovo plazmo (SO₂/O₂).

2 EKSPERIMENTALNI DEL

Plazemski sistem je bil sestavljen iz cevi iz stekla pyrex zunanjega premera 4 cm in dolžine približno 80 cm. Sonda je bila nameščena na sredino glavne cevi in potisnjena proti tuljavi, tako da je bila razdalja med konico sonde in prvim ovojem tuljave 13 cm. Vakuumski sistem smo črpali z dvostopenjsko rotacijsko črpalko Edwards s črpalno hitrostjo 80 m³/h. Tlak v sistemu smo merili s kalibriranim kapacitivnim merilnikom MKS Baratron. Plazmo smo vzbujali z radiofrekvenčnim elektromagnetnim poljem, ki izvira iz RF tokovne tuljave. Uporabili smo industrijski radiofrekvenčni generator pri standardni, mednarodno določeni frekvenci 13,56 MHz. Za ustvarjanje električnega polja oziroma razelektritve smo uporabili bakreno tuljavo s šestimi ovoji, ki je bila povezana s komercialnim ujemalnim oziroma skloplitvenim

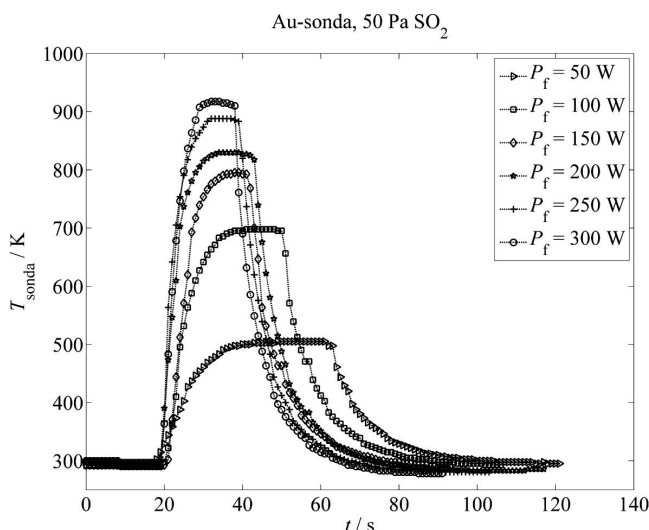
členom. Uporabili smo pet različnih moči RF-generatorja od 50 W do 300 W s korakom po 50 W pri štirih različnih tlakih plina SO₂: (20, 50, 80 in 100) Pa ter štirih različnih tlakih mešanice plina SO₂/O₂. Pri plinski mešanici je bil tlak SO₂ konstanten, in sicer 80 Pa, spremenjali pa smo le pritisk vpusta kisika (5 Pa, 10 Pa, 20 Pa in 80 Pa). Plazemski sistem je bil opremljen tudi z optičnim spektrometrom Avantes 3648, s katerim smo zajeli optične emisijske spekture (OES) plazme SO₂ in SO₂/O₂.

Plazmo smo najprej natančno karakterizirali s katalitično sondijo in OES-spektroskopijo. Uporabili smo sondijo, katere konica je bila izdelana iz zlata oziroma molibdena. Nato smo v plazmi še poskusno obdelali vzorce polimera PET, da bi ugotovili, ali lahko nanj vežemo SO₃-skupine. Kemijske spremembe, ki so nastale na plazemsko obdelanem polimeru PET, smo karakterizirali z metodo rentgenske fotoelektronske spektroskopije (XPS) [6].

3 REZULTATI

Sliki 1 in 2 prikazujeta značilen časovni potek temperature zlate katalitične sonde. Prva slika prikazuje signal sonde v plazmi SO₂ pri tlaku 50 Pa, druga pa v plazmi SO₂/O₂ pri razmerju tlakov 10 Pa/80 Pa. Podobno prikazujeta **sliki 3 in 4** časovni potek temperature molibdenove katalitične sonde. Prva slika prikazuje signal molibdenove sonde v plazmi SO₂ pri tlaku 20 Pa, druga pa v plazmi SO₂/O₂ pri razmerju tlakov 5 Pa/80 Pa. S **slik 1 in 2** je razvidno, da se zlata sonda v primerjavi z molibdenovo močneje greje in doseže višje temperature, zato ima veliko boljši signal v primerjavi z molibdenovo.

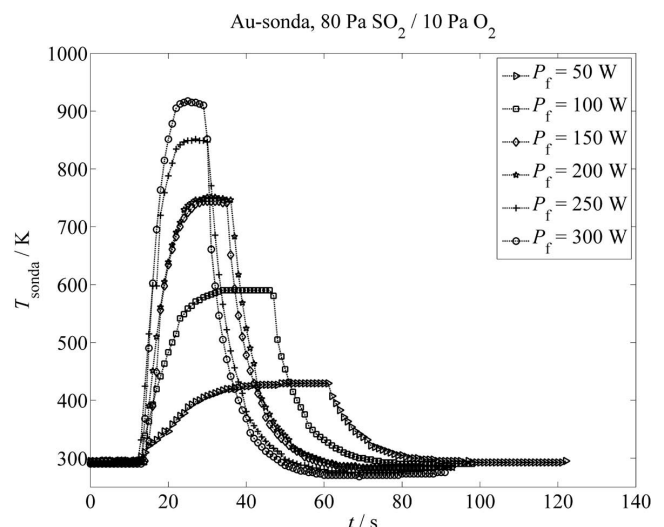
Gostoto atomov v plazmi smo izmerili pri štirih različnih tlakih in šestih različnih močeh. Meritve z



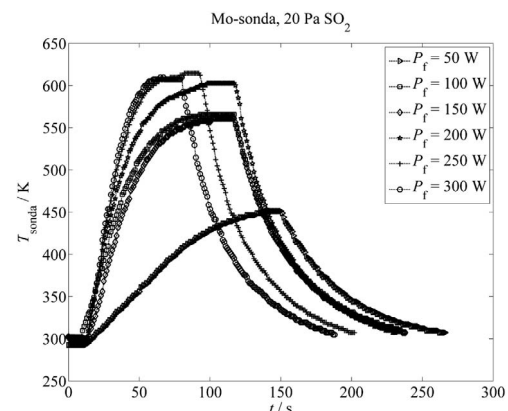
Slika 1: Temperaturni potek zlate sonde v odvisnosti od časa v plazmi SO₂ pri tlaku 50 Pa

zlatu sondi so omogočale določitev gostote nevtralnih kisikovih atomov preko odvodov, prikazanih na **slikah 5 in 6** za plazmo SO₂ in SO₂/O₂, ki smo jih odčitali s **slik 1 in 2**. Gostota nevtralnih kisikovih atomov, izmerjena z zlato katalitično sondijo v plazmi SO₂ in SO₂/O₂, je prikazana na **slikah 7 in 8**. Podobno prikazujeta **sliki 9 in 10** gostoto nevtralnih kisikovih atomov, izmerjeno z molibdenovo katalitično sondijo. Opazimo lahko, da je gostota atomov kisika v plazmi večja, če uporabimo mešanico SO₂/O₂. Pri molibdenovi sondi je razlika v gostoti atomov zanemarljiva, kar je verjetno posledica eksperimentalne napake. Podoben efekt, da je v mešanici po navadi večja gostota atomov, je znan tudi iz mešanice argonske in kisikove plazme, kjer dodatek argona poveča stopnjo disociacije kisikovih molekul v plazmi.

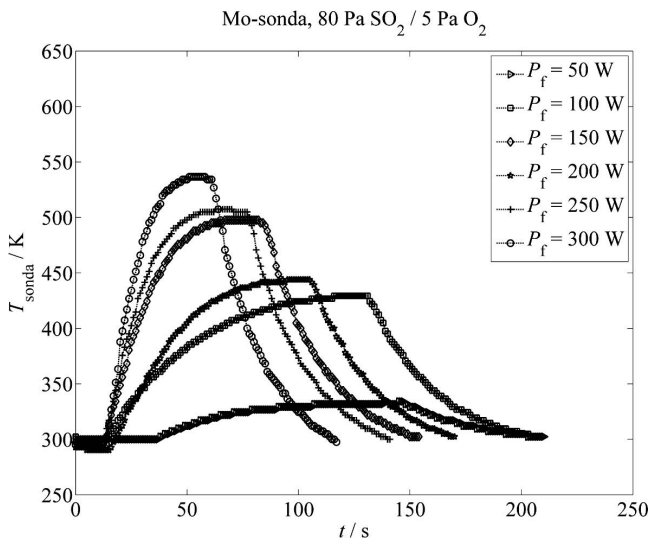
Tu velja še omeniti, da pri molibdenovi sondi dobimo tudi nekoliko višje gostote atomov kot pri zlati sondi, kar bomo razložili kasneje. Na **slikah 11 in 12** je prikazana stopnja disociacije v plazmi SO₂, izmerjena z zlato in molibdenovo sondijo. Tudi tukaj smo



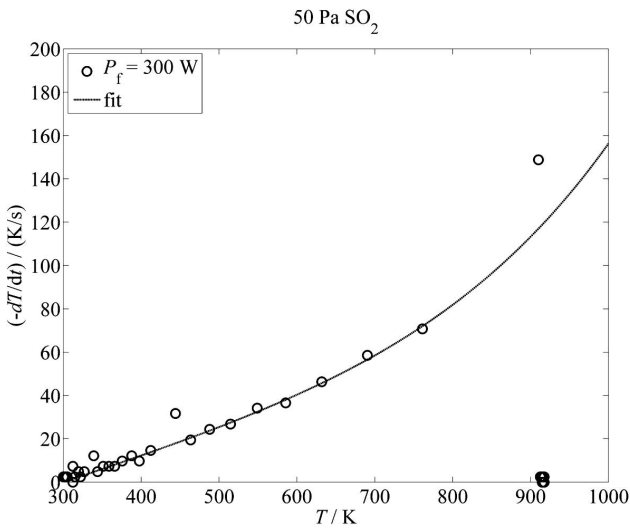
Slika 2: Temperaturni potek zlate sonde v odvisnosti od časa v plazmi SO₂/O₂ pri razmerju tlakov 80 Pa/10 Pa



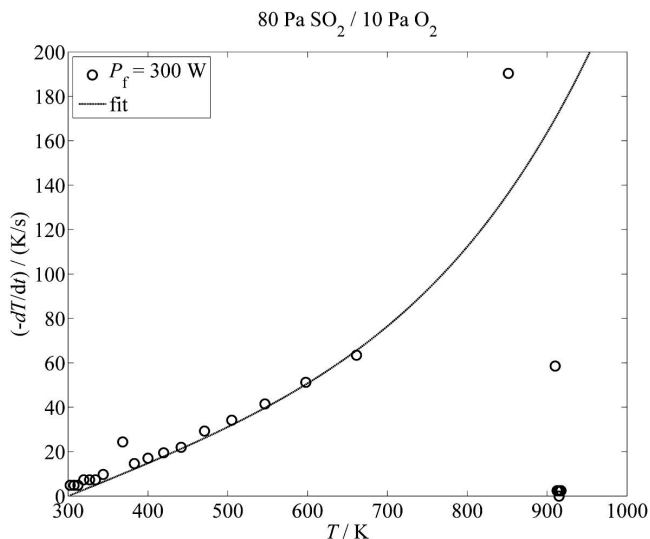
Slika 3: Temperaturni potek molibdenove sonde v odvisnosti od časa v plazmi SO₂ pri tlaku 20 Pa



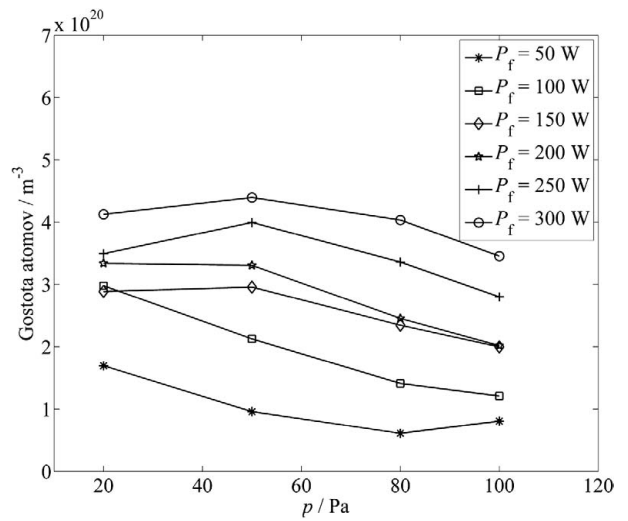
Slika 4: Temperaturni potek molibdenove sonde v odvisnosti od časa v plazmi SO₂/O₂ pri tlaku 80 Pa/5 Pa



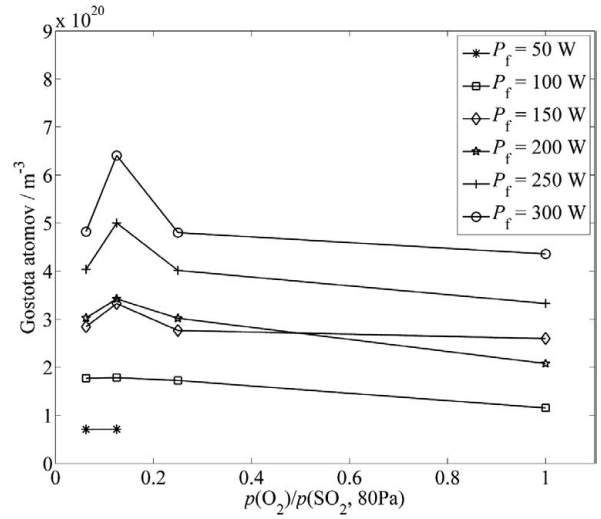
Slika 5: Odvodi pri zlati sondi v plazmi SO₂ pri tlaku 50 Pa in največji moči 300 W



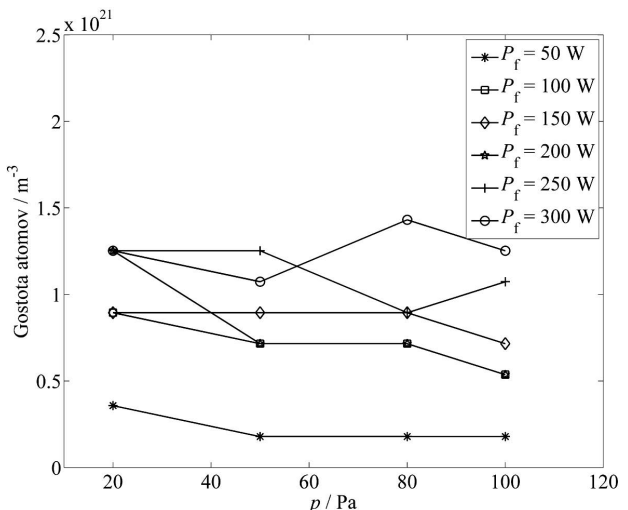
Slika 6: Odvodi pri zlati sondi v plazmi SO₂/O₂ pri razmerju tlakov 80 Pa/10 Pa in največji moči 300 W



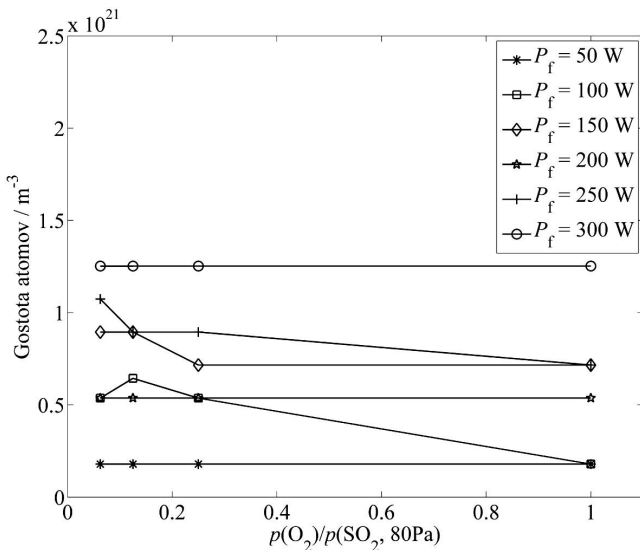
Slika 7: Gostota nevtralnih atomov kisika v plazmi SO₂, izmerjena z zlato sondo v odvisnosti od tlaka ter pri različnih močeh



Slika 8: Gostota nevtralnih atomov kisika v plazmi SO₂/O₂, izmerjena z zlato sondo v odvisnosti od tlačnega razmerja ter pri različnih močeh



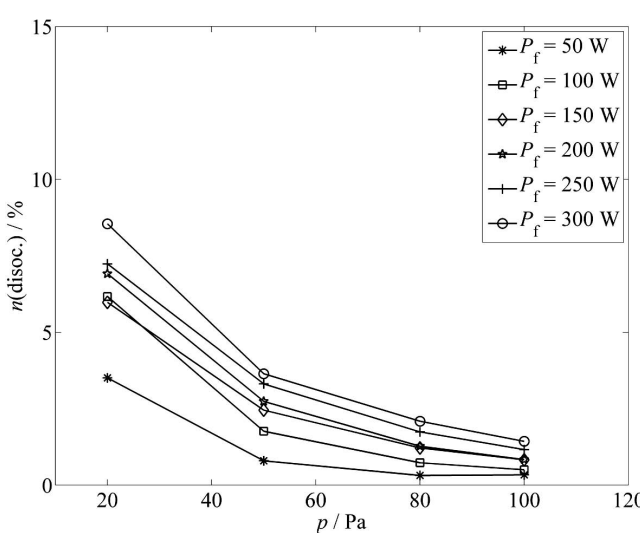
Slika 9: Gostota nevtralnih atomov kisika v plazmi SO₂, izmerjena z molibdenovo sondo v odvisnosti od tlaka ter pri različnih močeh



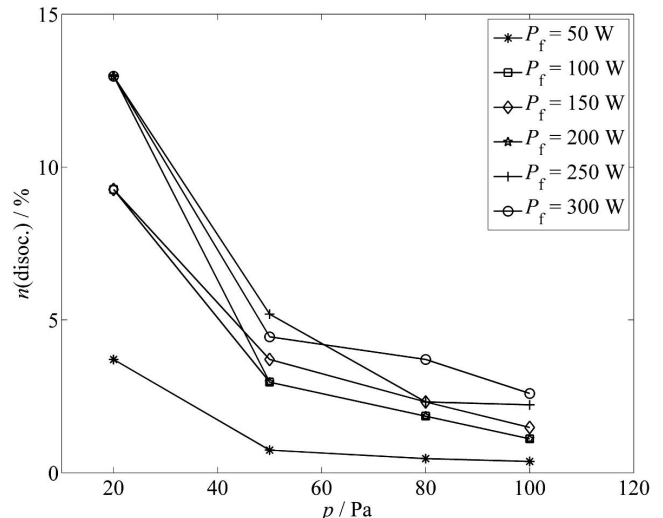
Slika 10: Gostota nevtralnih atomov kisika v plazmi SO₂/O₂, izmerjena z molibdenovo sondjo v odvisnosti od tlačnega razmerja ter pri različnih močeh

opazili nekoliko višjo stopnjo disociacije pri molibdenovi sondi.

Slike 13 in 14 prikazujeta značilni spekter plazme SO₂ in SO₂/O₂. Oba spektra sta si močno podobna. Za plazmo SO₂ je značilen SO-kontinuum v območju med 300 nm in 450 nm ter manjši pas med približno 450 nm in 550 nm. V spektru opazimo tudi črte atomov kisika (O) pri 533 nm, 777 nm (3p⁵P-3s⁵S) in pri 844 nm (3p³P-3s⁵S). Pri valovni dolžini 923 nm opazimo črte atomov žvepla (S). Razvidno je, da dodaten vpust kisika zmanjša intenziteto SO-kontinuma, prav tako izgine črta atomov žvepla, intenziteta kisikovih črt pa se poveča. Če uporabimo mešanico SO₂/O₂ (slika 14), se razmerje intenzitet kisika poveča v primerjavi z intenzitetom kontinuma.



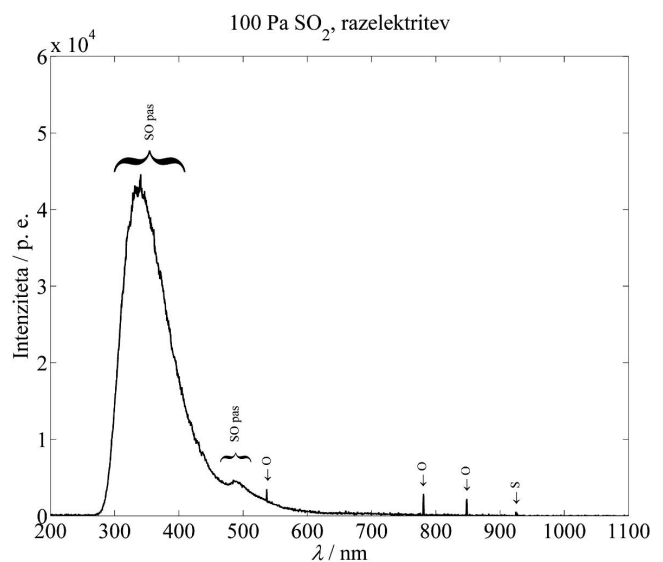
Slika 11: Disociacija atomov kisika v plazmi SO₂, izmerjena z zlato sondjo v odvisnosti od tlaka ter pri različnih močeh



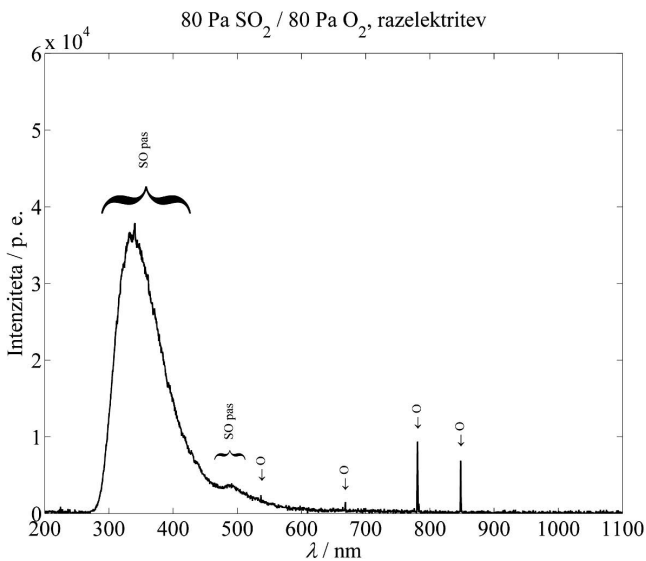
Slika 12: Disociacija atomov kisika v plazmi SO₂, izmerjena z molibdenovo sondjo v odvisnosti od tlaka ter pri različnih močeh

Zanimiva lastnost žveplove plazme je, da ne sveti samo znotraj razelektritvenega dela, temveč lahko opazimo šibko svetlobo tudi v porazelektritvenem delu, česar v čisti kisikovi plazmi ne opazimo. Žveplova plazma je torej zelo močan sevalec, sveti pa v izrazito modri barvi.

Da bi preverili, ali lahko plazmo SO₂ uspešno uporabimo za funkcionalizacijo polimernih materialov za doseganje protitrombogenih učinkov, smo polimer PET, ki se uporablja za umetne žilne vsadke, izpostavili tej plazmi za 30 s. Sestava površine pred plazemsko obdelavo in po njej, kot je bila ugotovljena z metodo XPS, je prikazana v tabeli 1. Opazimo, da pride na površini tako do povečanja koncentracije kisika kot tudi žvepla. Da bi ugotovili, kakšne

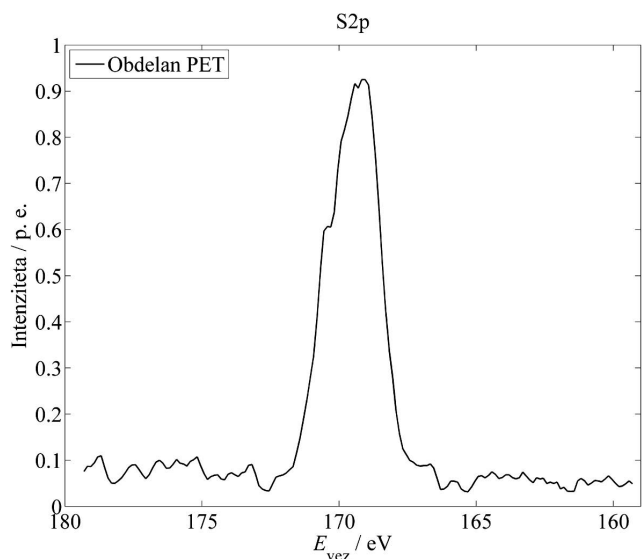


Slika 13: Spekter plazme SO₂ pri tlaku 100 Pa v območju razelektritve



Slika 14: Spekter plazme SO₂/O₂ pri razmerju tlakov 80 Pa/80 Pa v območju razelektritve

funkcionalne skupine so nastale na površini, smo posneli še visoko ločljiva spektra ogljika in žvepla, prikazana na **slikah 15 in 16**. V spektru ogljika (**slika 15**) ne opazimo bistvenih sprememb pred obdelavo in po njej. Če bi se kisik iz plazme vezal na atome ogljika, bi morali opaziti močan porast obeh manjših vrhov na levi [7]. Ker tega nismo opazili, lahko sklepamo, da je bil kisik, katerega koncentracija se je po plazemski obdelavi povečala, vezan večinoma v žveplovih funkcionalnih skupinah, kar je razvidno tudi s **slike 14**. Žveplo se torej nahaja v visoko oksidiranem stanju, zato lahko predpostavimo prisotnost SO₃-skupin. Tukaj velja še omeniti, da vezi C–S v samem spektru ogljika nismo opazili. Razlog je v tem, da je vezavna energija vezi C–S blizu vezavni energiji



Slika 16: Primer visoko ločljivega XPS-spektra žvepla, posnetega na plazemsko obdelanem vzorcu PET

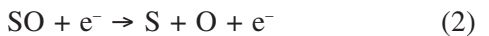
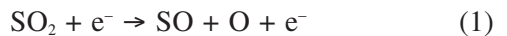
vezi C–C (glavni vrh), zato vrha C–S ne moremo jasno razločiti od glavnega vrha ogljika.

Tabela 1: Površinska sestava polimera PET (atomski deleži), ugotovljena z metodo XPS pred obdelavo in po njej v plazmi SO₂

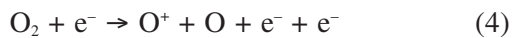
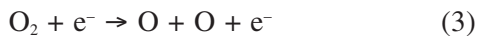
Vzorec PET	C	O	S
neobdelan	73,5	26,5	
obdelan v plazmi	60,7	36,2	3,1

4 DISKUSIJA

V plazmi SO₂ imamo naslednji reakciji za disociacijo molekule SO₂ [8]:

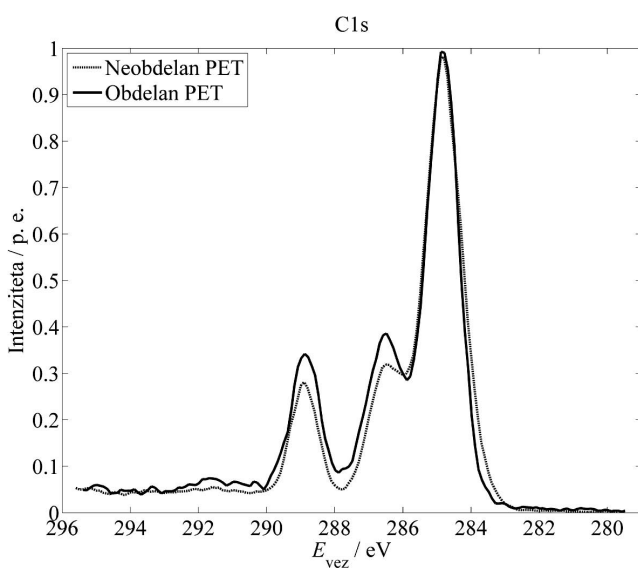


Ker smo poleg plazme SO₂ uporabljali tudi mešanico SO₂ in O₂, imamo še nekaj dodatnih možnosti za disociacijo O₂ [8]:



Energija, potrebna za disociacijo kisikove molekule, je $W_{\text{dis}}^{\text{O}_2} = 5,12 \text{ eV}$, za ionizacijo $W_{\text{ion}}^{\text{O}_2} = 12,2 \text{ eV}$ in za ionizacijo kisikovega atoma $W_{\text{ion}}^{\text{O}_2} = 13,6 \text{ eV}$. Za disociacijo molekul SO₂ in SO pa potrebujemo energiji $W_{\text{ion}}^{\text{SO}_2} = 5,7 \text{ eV}$ in $W_{\text{ion}}^{\text{SO}} = 5,4 \text{ eV}$ [9–12]. V plazmi, kjer je energija elektronov nekaj elektron-voltov, je najverjetnejši proces torej disociacija.

Rekombinacije potekajo skoraj izključno le na stenah plazemskega reaktorja, saj je verjetnost za trk treh delcev v plinu pri tlakih, ki smo jih uporabljali (od



Slika 15: Primerjava visoko ločljivega XPS-spektra ogljika neobdelanega in plazemsko obdelanega vzorca PET

20 Pa do 100 Pa), majhna [13]. Prav zato je reaktorska cev najpogosteje izdelana iz materiala z majhno verjetnostjo za površinsko rekombinacijo atomov (v našem primeru pyrex), saj stremimo k čim manjšim izgubam nevtralnih atomov. S tem dosežemo visoko gostoto nevtralnih atomov ob razmeroma nizki gostoti ionov, saj je namreč verjetnost za nevtralizacijo ionov na površini domala neodvisna od vrste materiala in je blizu 1.

Možnosti za rekombinacijo atomov v molekule je več. Naj posebej omenimo tri, za naš eksperiment najpomembnejše [14]:

- Na površini sta vezana dva atoma nedaleč drug od drugega. Po površini migrirata drug proti drugemu in se združita v molekulo (Lanthuir-Hinshelwoodov mehanizem).
- Atom, ki prileti na površino, zadene ob atom, ki je vezan na površino. Združita se v molekulo, ki pa ne čuti istega privlačnega potenciala, zato zapusti površino (Eley-Ridealov mehanizem).
- Na isto mesto na površini priletita dva atoma hkrati in se združita v molekulo.

Tretji proces lahko zanemarimo, saj je verjetnost, da bosta na majhen del površine hkrati padla dva atoma, zelo majhna [15]. Na prvi in drugi proces pa močno vplivajo lastnosti površine. Odvisnost rekombinacije od površinskih lastnosti opišemo z rekombinacijskim koeficientom γ , ki je definiran kot verjetnost, da se atom ob trku s površino rekombinira v molekulo. Katalitična sonda je v osnovi zelo majhen kos kovine [16], ki je potopljen v plazmo. Kovina katalitične sonde deluje kot katalizator za rekombinacije ter tudi prevzema večji del toplotne, ki se sprosti ob rekombinacijah na sami površini sonde. Bolj ko so rekombinacije pogoste, bolj se sonda greje. Posredno lahko z opazovanjem temperature določimo gostoto atomov v plazmi. Moč gretja sonde lahko zapišemo kot:

$$P = \frac{1}{4} n \bar{v} S \gamma \frac{W_{\text{dis}}}{2} \quad (6)$$

kjer je n številska gostota atomov v plazmi, \bar{v} povprečna velikost hitrosti atomov v plazmi, S površina sonde, γ rekombinacijski koeficient sonde in W_{dis} disociacijska energija, ki se sprosti pri rekombinaciji. Po drugi strani lahko moč segrevanja sonde zapišemo tudi kot:

$$P = m c_p \frac{dT}{dt} \quad (7)$$

kjer je m masa sonde, c_p specifična toplotna kapaciteta sonde, dT/dt maksimum časovnega odvoda temperaturne krivulje tik za tem, ko smo izklopili vzbujanje plazme. S kombinacijo enačb (6) in (7) lahko gostoto atomov izračunamo kot:

$$n = \frac{8mc_p}{\bar{v}S\gamma W_{\text{dis}}} \cdot \frac{dT}{dt} \quad (8)$$

Za katalitično sondo je zelo pomembna prava izbira katalizatorja. Za kisikovo plazmo se najbolje obnese nikljeva sonda, za dušikovo železna, za vodičovo pa zlata ali platinasta. Pri plazmi SO₂ smo se odločili za zlato in molibdenovo sondo, saj je navadna nikljeva sonda imela preslab signal in je bila neuporabna.

Velja še omeniti, da smo pri izračunu gostote po enačbi (8) uporabili naslednje vrednosti konstant za zlato katalitično sondu:

$$m = 1,671 \cdot 10^{-5} \text{ kg}; c_p = 128 \text{ J/(kg K)}; \bar{v} = 630 \text{ m/s}; W_{\text{dis}}^{\text{O}_2} = 5,12 \text{ eV} = 8,129 \cdot 10^{-19} \text{ J}; \gamma = 0,47;$$

$$A = 1,9242 \cdot 10^{-5} \text{ m}^2$$

ter za molibdenovo katalitično sondu:

$$m = 5,137 \cdot 10^{-5} \text{ kg}; c_p = 250 \text{ J/(kg K)}; \bar{v} = 630 \text{ m/s}; W_{\text{dis}}^{\text{O}_2} = 5,12 \text{ eV} = 8,129 \cdot 10^{-19} \text{ J}; \gamma = 0,11;$$

$$A = 2,5133 \cdot 10^{-5} \text{ m}^2$$

Tu je potrebna še opomba, da je bila katalitična ploščica iz molibdena precej debela (0,4 mm), medtem ko je bila zlata standardne debeline 0,04 mm. Zato je bil tudi odziv molibdenove sonde precej počasnejši. Mo- in Au-sonda sta bili najprej aktivirani v kisikovi plazmi. Po tej aktivaciji, s čimer smo sondi očistili nečistoč, smo z njima merili temperaturni signal v plazmi SO₂ ali njeni mešanici s kisikom.

Pri primerjavi **slik 7 in 9 ter 8 in 10** opazimo, da dobimo pri molibdenovi sondi nekoliko večje gostote atomov kot pri zlati sondi. Poleg zgornjega razloga (slabše odzivnosti sonde) je razlog verjetno tudi v rekombinacijskem koeficientu za oba katalitična materiala, ki ni natančno poznан.

Na koncu velja še omeniti reakcije, ki potekajo na površini sonde v plazmi SO₂. Pri kisikovi plazmi poteka na površini samo reakcija O + O → O₂. Pri plazmi SO₂ pa je zadeva bolj komplificirana, ker imamo na voljo več različnih delcev (SO, O, S) in zato tudi več različnih rekombinacijskih mehanizmov. Tako poleg reakcije O + O → O₂ predpostavimo vsaj še reakcijo SO + O → SO₂. Ker bi upoštevanje prispevkov obeh reakcij pri segrevanju sonde otežilo izračun gostote (za reakcijo SO + O → SO₂ namreč ne poznamo verjetnosti za rekombinacijo), smo v našem primeru predpostavili, da se površina katalitičnega materiala, iz katerega je narejena sonda, zasiti s kisikovimi atomi in da je verjetnost za reakcijo O + O → O₂ bistveno večja od verjetnosti za reakcijo SO + O → SO₂. Izračunane gostote nevtralnih atomov kisika v plazmi SO₂ so zato zgolj okvirna ocena. Da je prva predpostavka upravičena, smo pokazali tudi z XPS-analizami, saj je površina sond vsebovala zelo

veliko kisika (molski delež 30 % oziroma 50 % za Au oziroma Mo) in zelo malo žvepla (okoli 5 %).

5 SKLEPI

Dokazali smo, da sta tako zlata kot molibdenova katalitična sonda primerni za karakterizacijo plazme SO₂ in SO₂/O₂. Izmerjena gostota atomov kisika v plazmi SO₂ je bila v območju 10²⁰–10²¹ m⁻³. Gostota je naraščala z naraščajočo močjo in v splošnem padala z naraščajočim tlakom. Kot smo že omenili, je gostota v mešanici SO₂/O₂ večja v primerjavi s čisto plazmo SO₂. Na sondi smo pri izračunu gostote predpostavili samo reakcijo O + O → O₂, medtem ko smo reakcijo SO + O → SO₂ zanemarili. To smo opravičili z veliko adsorpcijo kisika na površino sonde in z nastankom kovinskih oksidov, medtem ko je bila količina žvepla, ki smo jo našli na sondi, zelo majhna. Plazmo SO₂ smo med drugim uporabili tudi za uspešno funkcionalizacijo polimera PET s SO₃-skupinami.

6 LITERATURA

- [1] M. Mozetič, A. Vesel, U. Cvelbar, A. Ricard, *Plasma Chem. Plasma P.*, 26 (2006), 103–117
- [2] M. Mozetič, U. Cvelbar, A. Vesel, A. Ricard, D. Babič, I. Poberaj, *J. Appl. Phys.*, 97 (2005), 103308-1–103308-7
- [3] A. Vesel, M. Mozetič, A. Drenik, M. Balat – Pichelin, *Chem. Phys.*, 382 (2011), 127–131
- [4] Y. H. Sun, L. X. Feng, X. X. Zheng, *J. Appl. Polym. Sci.*, 74 (1999), 2826–2831
- [5] D. Klee, H. Hocker, *Biomedical Applications*, 149 (1999), 1–57
- [6] J. Kovač, A. Zalar, *Vakuumist*, 25 (2005) 3, 19–24
- [7] A. Vesel, I. Junkar, U. Cvelbar, J. Kovač, M. Mozetič, *Surf. Interface Anal.*, 40 (2008), 1444–1453
- [8] W. Xinliang, L. Tingting, W. Dongxiang, W. Yanli, G. Fan, *Plasma Sci. Technol.*, 6 (2008), 710–716
- [9] T. L. Cottrell, *The Strengths of Chemical Bonds*, 2nd ed., Butterworth, London, 1958
- [10] B. de B. Darwent, *National Standard Reference Data Series*, National Bureau of Standards (1970), 31, Washington
- [11] S. W. Benson, *J. Chem. Educ.*, 42 (1965), 502
- [12] J. A. Kerr, *Chem. Rev.*, 66 (1966), 465
- [13] A. Drenik, Disertacija: Verjetnost za heterogeno rekombinacijo vodikovih in kisikovih atomov na površinah fuzijsko relevantnih materialov, Mednarodna podiplomska šola Jožefa Stefana, Ljubljana, 2009
- [14] M. Mozetič, Disertacija, Univerza v Mariboru, Fakulteta za elektrotehniko, računalništvo in informatiko, 1997
- [15] A. Drenik, U. Cvelbar, A. Vesel, M. Mozetič, *Inform. Midem*, 35 (2005), 85–91
- [16] I. Poberaj, M. Mozetič, D. Babič, *J. Vac. Sci. Technol. A*, 20 (2002), 189–193

OBVESTILO

Člane DVTS pozivamo, da poravnajo članarino za leto 2012 v višini 25,00 EUR. Znesek lahko nakažete na naš transakcijski račun SI56 0208 3001 4712 647 preko interneta (klik) ali s plačilnim nalogom, ki ga dobite na banki. V pomoč prilagamo primer izpolnjenega plačilnega naloga.

PLAČNIK			
IBAN:	<input type="text" value="SI56 xxxx xxxx xxxx xxxx"/>		
Referenca:	<input type="text"/>		
Naziv:	<input type="text" value="Ime Priimek"/>	Naslov:	<input type="text" value="Ulica in hišna št."/>
Kraj:	<input type="text" value="Kraj bivanja"/>	Država:	<input type="text" value="SLOVENIJA - 705"/> <input type="checkbox"/> Nujno
Koda namena:		Namen / rok plačila:	
<input type="text" value="NOWS - Plačilo neopredeljene storitve"/>		<input type="text" value="Članarina 2012"/>	
PREJEMNIK			
Znesek:	EUR	Datum plačila:	BIC banke prejemnika:
	<input type="text" value="25,00"/>	<input type="text" value="vpiši tekoči datum"/>	<input type="text" value="LJBAS12X"/>
IBAN:	<input type="text" value="SI56 0208 3001 4712 647"/>		
Referenca:	<input type="text"/>	Seznam bank v območju SEPA	
Naziv:	<input type="text" value="DVTS"/>		
Kraj:	<input type="text" value="Ljubljana"/>		
Naslov:	<input type="text" value="Teslova 30"/>		
Država:	<input type="text" value="SLOVENIJA - 705"/>		